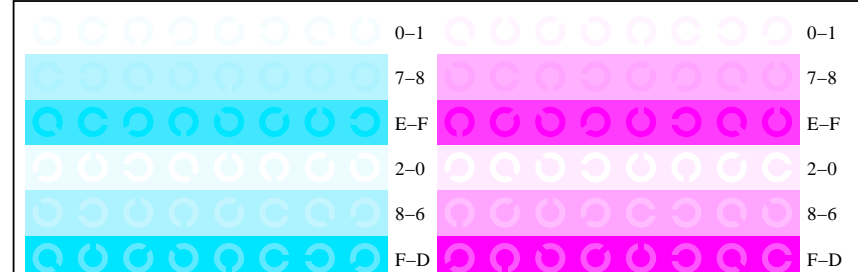
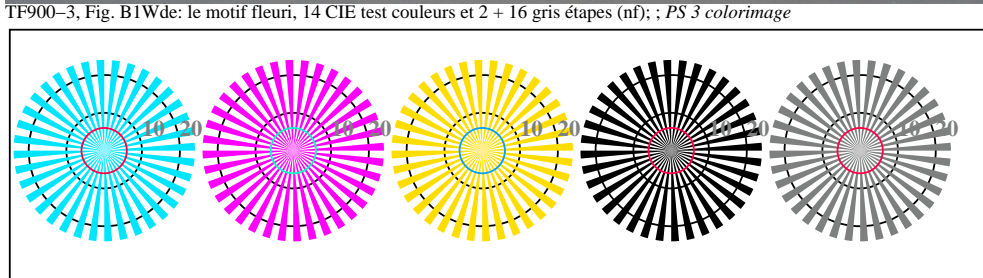


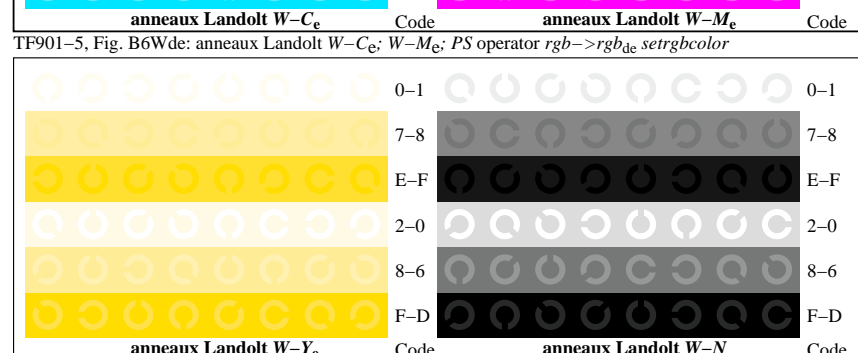
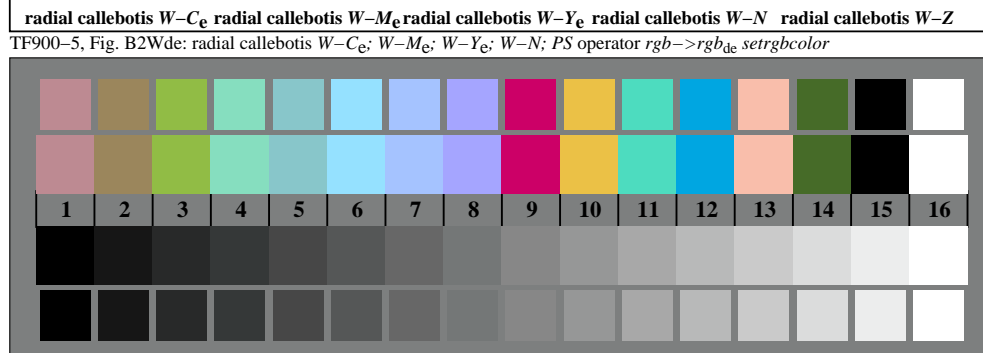
TF901-1, Fig. B4Wde: 16 équidistants étapes $W-C_e; W-M_e; W-Y_e; W-N$; $rgb/cmy0 \rightarrow rgb_{de}$ setrgbcolor

$+-.$	C	Q	O	Q	C	$lmno$	C	Q	O	Q	C	$pqrs$	O	Q	O	Q	O	C	$tuvw$	
$xyz;$	C	Q	O	Q	C	$hijk$	C	Q	O	Q	C	$lmno$	O	Q	O	Q	O	C	$pqrz$	
$tuvw$	C	Q	O	Q	C	$defg$	C	Q	O	Q	C	$hijk$	O	Q	O	Q	O	C	$hijk$	
$pqrs$	C	Q	O	Q	C	$!abc$	C	Q	O	Q	C	$+-.$	O	Q	O	Q	O	C	$+-.$	
$lmno$	C	Q	O	Q	C	$xyz;$	C	Q	O	Q	C	$tuvw$	O	Q	O	Q	O	C	$xyz;$	
$hijk$	C	Q	O	Q	C	$defg$	C	Q	O	Q	C	$defg$	O	Q	O	Q	O	C	$defg$	
$defg$	C	Q	O	Q	C	$!abc$	C	Q	O	Q	C	$!abc$	O	Q	O	Q	O	C	$!abc$	
$!abc$	C	Q	O	Q	C	10	N	$C_e M_e Y_e Z$	8	N	$C_e M_e Y_e Z$	6	N	$C_e M_e Y_e Z$	8	N	$C_e M_e Y_e Z$	10	N	$C_e M_e Y_e Z$

TF901-3, Fig. B5Wde: code et Landolt anneau N ; $C_e; M_e; Y_e; Z$; PS operator $rgb \rightarrow rgb_{de}$ setrgbcolor



TF901-5, Fig. B6Wde: anneaux Landolt $W-C_e; W-M_e$; PS operator $rgb \rightarrow rgb_{de}$ setrgbcolor



TF901-7, Fig. B7Wde: anneaux Landolt $W-Y_e; W-N$; PS operator $rgb \rightarrow rgb_{de}$ setrgbcolor